

**H. Noferesti**

Department of Mining  
Engineering, Faculty of  
Engineering, University of  
Birjand, Birjand, Iran.

**e-mail:**  
hnoferesty@birjand.ac.ir

**A. Veiskarami**

Department of Mining  
Engineering, Faculty of  
Engineering, University of  
Birjand, Birjand, Iran.

**e-mail:**  
veiskaramiali@yahoo.com

**M.J. Rahimdel\***

Department of Mining  
Engineering, Faculty of  
Engineering, University of  
Birjand, Birjand, Iran.

**e-mail:**  
rahimdel@birjand.ac.ir

## **Study and Analysis of Landslide Potential Using Numerical Modeling (A Case Study: Ghaen-Afin Roadway in Southern Khorasan)**

*Steep slopes developed on the loose ground, either natural or artificial, are prone to landslide phenomena. During construction activities for the development of new Qaen-Afin road in South Khorasan and adjacent to Ravoshk village, a sudden landslide occurred in a shale slope, and newly-built stone bridge for the road destructed. In this paper, using geologic conditions, satellite images, the field evidence of landslide and SLIDE6 and Phase2 programs, the type, and cause of the landslide will be examined. The survey conducted with the help of satellite images and field visits showed that the landslide occurred is a circular landslide with dimensions of approximately 50×80 m. It had happened a few months ago, but unfortunately, no attention paid to it, and continued construction activities in the rainy season stimulated the sliding mass and led to extreme conditions. The geometrical condition of the slope, just before the slope failure, was determined by using GPS, surveying meter, and satellite images. Using this information, the two-dimensional model of the natural slope, before any construction activity, created in SLIDE6. Slope stability analysis was performed using the simplified Bishop limit equilibrium method, and failure of the slope predicted successfully. Finite element analysis of the slope in Phase2 software arrived at similar results. This paper has shown that a lack of attention to first slope movements and continuing construction work was the primary cause of financial losses incurred.*

**Keywords:** Landslide, Limit equilibrium method, Finite element method, Ravoshk village, Southern Khorasan.

---

\* Corresponding author

## تحلیل و بررسی پتانسیل زمین‌لغزش به کمک مدل‌سازی عددی (مطالعه موردنی: محور قائن – افین در استان خراسان جنوبی)

حسین نوفرستی

استادیار، گروه مهندسی معدن،  
دانشکده مهندسی، دانشگاه  
بیرجند.

پست الکترونیک:

hnoferesty@birjand.ac.ir

### علی ویسکرمی

کارشناسی ارشد، گروه مهندسی  
معدن، دانشکده مهندسی،  
دانشگاه بیرجند.

پست الکترونیک:

veiskaramiali@yahoo.com

### محمدجواد رحیم‌دل\*

استادیار، گروه مهندسی معدن،  
دانشکده مهندسی، دانشگاه  
بیرجند.

پست الکترونیک:

rahimdel@birjand.ac.ir

زمین‌لغزش یکی از مخرب‌ترین حوادث طبیعی در زمین‌های شیب‌دار بوده که هرساله منجر به خسارت‌های جانی و مالی فراوانی می‌شود. دامنه‌های شیب‌دار که در زمین‌های سست چه به صورت طبیعی یا مصنوعی ایجاد شده‌اند، مستعد پدیده زمین‌لغزش هستند. در زمستان ۱۳۹۰ در حین فعالیت‌های راهسازی برای توسعه و احداث جاده جدید قائن– افین در استان خراسان جنوبی و در مجاورت روستای روشک، رانش ناگهانی زمین منجر به تخریب پل سنگی جدید‌الحدادی در مسیر جاده گردید. در این مقاله، به بررسی این زمین‌لغزش و علت وقوع آن پرداخته شده است. برای این منظور، از تصاویر ماهواره‌ای، و تجربیات بهدست آمده در بازدیدهای محلی استفاده شد و تحلیل پایداری دامنه و بررسی نوع زمین‌لغزش با بهره‌گیری از روش‌های تعادل حدی ساده شده بیش از روش عددی المان محدود انجام گردید. با توجه به نتایج، عدم توجه به حرکات اولیه دامنه و ادامه کارهای ساختمانی در محدوده توده لغزشی از عوامل اصلی وقوع این زمین‌لغزش بوده و بارندگی نقش چندانی در بروز این پدیده نداشته است. ضربی این‌می دامنه قبل از انجام خاکریزی جدید حدود ۱/۷ بهدست آمد که پس از خاکریزی به ضخامت ۴ متر به ۰/۹۰ کاهش یافته است.

**وازگان کلیدی:** زمین‌لغزش، روش تعادل حدی، روش المان محدود، روستای روشک، خراسان جنوبی.

مشاهده است، یکی از پیش‌نمانگرهای زمین‌لغزش‌ها هستند. دامنه‌های پرشیب شیلی از مستعدترین مکان‌ها برای وقوع زمین‌لغزش می‌باشند. با این وجود، زمین‌لغزش‌ها در مناطق دیگر و در مقیاس‌های کوچکتر نیز رخ می‌دهند. زمین‌لغزش‌ها غالباً پس از زمین‌لرزه‌ها، بارندگی‌های شدید و حتی پس از برداشت بخشی از شیب‌ها به‌ویژه در حین ساخت جاده‌ها اتفاق می‌افتد [۳]. زمین‌لغزش یکی از مخاطرات زمین‌شناسی است که سالانه خسارات جانی و مالی فراوانی بر جای می‌گذارد. به عنوان مثال، در سال ۱۹۸۲، بیش از ۸۱۰۰ زمین‌لغزش در مناطق مختلف کشور چین گزارش شده است [۴]. واقع شدن بخش‌های زیادی از ایران در مناطق

حرکت و جابه‌جایی رو به پایین بخشی از مواد دامنه در امتداد یک سطح گسیختگی مشخص را زمین‌لغزش می‌نامند. زمین‌لغزش‌ها انواع مختلفی داشته و در هر زمینی ممکن است ایجاد شود [۱]. ویژگی‌های توده متحرک و شکل سطح گسیختگی معمولاً به عنوان عوامل طبقه‌بندی لغزش‌ها به کار گرفته می‌شوند [۲]. شکاف بالای دامنه یا ترک کششی که به راحتی قابل

\* نویسنده مسئول

تاریخ: دریافت ۱۳۹۸/۰۴/۲۳، بازنگری ۱۳۹۸/۰۶/۱۲، پذیرش ۱۳۹۸/۰۶/۱۲.

DOI: 10.22091/cer.2019.4620.1160

معیارهای مؤثر بر رخداد زمین‌لغزش‌ها، درجه اهمیت هریک از شاخص‌ها با بهره‌گیری از روش شباهت به گزینه ایده‌آل فازی تعیین شد. با توجه به نتایج این تحقیق، جنس خاک به عنوان مؤثرترین پارامتر در احتمال وقوع زمین‌لغزش‌ها معرفی گردید. همچنین، راهکارهایی نظری کاهش تراکم ساختمانی و جمعیتی، ایجاد کمربند سبز، رعایت حریم اتوبان‌ها و استفاده از سازه‌های پایدار و مهندسی در محدوده‌های پرخطر به‌منظور کاهش احتمال وقوع مخاطرات زمین‌لغزش ارائه شد [۸]. بهاروند و همکاران، به پنهانه‌بندی مخاطرات زیست‌محیطی زمین‌لغزش، زمین‌لرزه، سیل و فرسایش در محدود حوزه آبریز وارک واقع در استان لرستان با استفاده از روش تحلیل سلسله‌مراتبی پرداختند. با توجه به نتایج این تحقیق، شاخص زمین‌لغزش دارای بالاترین درجه اهمیت در محدوده مورد مطالعه بود که این نتایج با مطالعات شمسی‌پور و شیخی (۱۳۸۹) [۹] در مطالعه نواحی غربی استان فارس مطابقت داشت. علاوه‌بر این، شیب و لیتلوژی منطقه به ترتیب دارای بالاترین اهمیت در بین عوامل مؤثر بر خطر زمین‌لغزش بودند [۱۰]. پژوهشگران دیگری، به بررسی مخاطرات زمین استان گلستان با استفاده از نقشه‌های توپوگرافی و زمین‌شناسی، عکس‌های هوایی و تصاویر ماهواره‌ای پرداختند. با توجه به نتایج این تحقیق، تقریباً تمامی شهرستان‌های این استان در محدوده احتمال خطر زیاد تا خیلی زیاد زمین‌لغزش قرار داشتند که اقداماتی پیشگیرانه به‌منظور جلوگیری از بروز خطرات زمین‌لغزش پیشنهاد گردید [۱۱]. در تحقیقی دیگر نیز محققان، به پیش‌بینی پتانسیل وقوع زمین‌لغزش در محدوده چهارگوش قزوین- رشت پرداختند. برای این منظور، با استفاده از اطلاعات ۳۳۸ زمین‌لغزش رخداده در محدوده مورد مطالعه، بهترین شبکه عصبی با میزان خطای ۴۱ درصد به‌منظور پیش‌بینی مناطق مستعد زمین‌لغزش ارائه شد [۱۲].

با توجه به موارد بالا، تاکنون تحقیقات گسترشده‌ای به‌منظور بررسی پتانسیل وقوع زمین‌لغزش‌ها انجام شده

زلزله‌خیز و کوهستانی موجب گردیده که پدیده زمین‌لغزش سالانه خسارات قابل توجهی را به کشور وارد آورد. براساس برآوردهای اولیه، صرف‌نظر از اتفاف منابع طبیعی غیرقابل بازگشت در اثر وقوع زمین‌لغزش‌ها، سالیانه ۵۰۰ میلیارد ریال خسارت‌های مالی بر کشور تحمل می‌شود [۵]. یکی از قدیمی‌ترین و مهم‌ترین زمین‌لغزش‌های اتفاق افتاده در ایران، لغزش بزرگ سیمراه (با وسعت تقریبی ۱۰۰۰۰۰ میلیون مترمربع) در محدوده جنوب‌غربی پلدختر و در دامنه‌های شمال شرقی تاقدیس کبیرکوه بوده که از نظر بزرگی، قابل مقایسه با زمین‌لغزه‌هایی نظیر پامیر و آلپ است [۶].  
جاده‌ها از مهم‌ترین شریان‌های ارتباطی به‌منظور توسعه مناسبات تجاری و اقتصادی مطرح هستند. مخاطرات طبیعی نظیر زمین‌لغزش‌ها به‌عنوان یکی از عوامل وقوع حوادث جاده‌ای و کاهش اینمی راه‌های ارتباطی مطرح بوده و فعالیت‌های انسانی ممکن است منجر به تشدید آن شود. از این‌رو، انتخاب صحیح مسیر جاده‌ها، شناخت عوامل مؤثر بر وقوع حرکت‌های دامنه‌ای و نیز شناسایی مکان‌های با قابلیت خطرپذیری بالا ضرورت دارد. زندی و همکاران، به بررسی و ارزیابی پتانسیل زمین‌لغزش در مسیر جاده پیشنهادی طرق به درور در استان خراسان رضوی پرداختند. در این تحقیق، شاخص‌هایی نظیر ارتفاع، جهت و نوع شیب، کاربری اراضی، فاصله از گسل، فاصله از جاده، فاصله از آبراهه، شاخص توان آبراهه و شاخص حمل رسوب و بارش در محیط به‌عنوان عوامل مؤثر در وقوع حرکات دامنه‌ای در نظر گرفته شدند و پس از وزن‌دهی به روش آنتروپی، نقشه حساسیت زمین‌لغزش تهیه گردید. با توجه به نتایج این پژوهش، شاخص‌های کاربری اراضی، نوع شیب و بارش به‌عنوان مؤثرترین عوامل در رخداد زمین‌لغزش در محدوده مورد بررسی بوده است [۷]. قنبری و همکاران، زمین‌لغزش‌های احتمالی در محدوده شهر تبریز را مورد بررسی قرار دادند. در این تحقیق، ابتدا به شناسایی لغزش‌های رخ داده پرداخته شد و پس از شناسایی

آبرفت‌های کواترنر یک رودخانه فصلی واقع شده که مسیر جاده قدیمی آن پس از عبور از کنار روستا و قطع بستر رودخانه، مطابق شکل ۱، از دیواره شرقی رودخانه بالا می‌رود. این دیواره با ارتفاع تقریبی ۳۰ متر عمدتاً از یک لایه شیل اوسن قرمز رنگ با شیب کم و روند شمالی-جنوبی تشکیل شده است. بر روی این لایه، یک لایه مقاوم کنگلومرا به ضخامت تقریبی دو متر مشاهده می‌شود. در بالاترین بخش دیواره نیز لایه‌ای آبرفتی با ضخامت چند متری وجود دارد. در بازدید اولیه از منطقه، مشاهده شد که به علت هوازدگی و ریزش‌های مداوم لایه شیلی، به تدریج قسمت‌های زیرین لایه کنگلومرا خالی شده و در نهایت، بلوک‌های بزرگی از کنگلومرا در اثر نیروی وزن بر روی دامنه سقوط کرده است (شکل ۱).



شکل ۱- تصویر دیواره شرقی رودخانه فصلی روشك

همانگونه که اشاره شد، جاده خاکی و قدیمی قائن به افین پس از عبور از روستای روشك، که بر روی آبرفت‌های یک رودخانه فصلی واقع شده، از یک دامنه پرشیب شیلی و به صورت مورب بالا رفته تا شیب جاده به تدریج کاهش یابد. در طرح تعریض و توسعه جاده، به منظور عبور جریانات فصلی یک پل سنگی در پای دامنه احداث و همزمان شیب دامنه اصلاح شده است. بدین ترتیب، مسیر جدید جاده پس از عبور از روی پل، بدون نیاز به ایجاد مسیری مورب و طولانی، مستقیماً به بالای دامنه منتهی گردیده است. در جریان اصلاح شیب و خاکریزی دامنه قدیمی، به منظور احداث و استحکام کافی سازه پل، عملیات راهسازی به طور موقت متوقف شده

است. با این وجود، بیشتر تحقیقات انجام شده در مقیاس‌های کلان و محدوده‌های وسیع نظیر مناطق شهری و حوزه‌های آبریز و عمدتاً با استفاده از روش‌های تحلیلی و یا مدل‌های تصمیم‌گیری انجام شده است. از طرفی، تنها تحقیقات اندکی به منظور بررسی و پیش‌بینی زمین‌لغزش‌ها در جاده‌ها و محورهای ارتباطی که به عنوان مهم‌ترین شریان‌های حمل و نقل و توسعه اقتصادی هستند، صورت گرفته است. بنابراین مقاله حاضر، به تحلیل و بررسی پتانسیل زمین‌لغزش در محور ارتباطی قائن- افین در استان خراسان جنوبی می‌پردازد. در زمستان ۱۳۹۰ در جریان راهسازی به منظور توسعه و احداث راه جدید قائن به افین در مجاورت روستای روشك، رانش ناگهانی زمین در یک دامنه شیلی به‌وقوع پیوست که در نهایت منجر به تخریب پل سنگی جدید‌الاحداثی در مسیر جاده گردید. در این مقاله، با استفاده از وضعیت زمین‌شناسی منطقه، تصاویر ماهواره‌ای و تجربیات به دست آمده، به مدل‌سازی عددی زمین‌لغزش در محیط نرم‌افزارهای SLIDE و Phase2 پرداخته شده است. با استفاده از نتایج این تحقیق، امکان پیش‌بینی لغزش‌های ناشی از ایجاد شیوه‌های مصنوعی و جلوگیری از مخاطرات فاجعه‌بار وجود دارد.

ساختمار این مقاله به شرح زیر است. در بخش دوم، به بررسی موقعیت جغرافیایی، زمین‌شناسی محدوده و زمین‌لغزش مورد مطالعه پرداخته شده است. بررسی و تحلیل زمین‌لغزش روشك با استفاده از روش‌های تحلیل حدی، تنش- کرنش و نیز مدل‌سازی لغزش در بخش چهارم ارائه شده است. در نهایت در بخش پنجم، نتایج مورد بررسی و تحلیل قرار گرفته‌اند.

## ۲- زمین‌شناسی منطقه و توصیف زمین‌لغزش در محدوده مورد مطالعه

روستای روشك در ۲۳ کیلومتری جنوب شرقی شهرستان قاین در استان خراسان جنوبی واقع شده است. این روستا در مسیر جاده قائن به روستای افین و بر روی

است به دلیل عدم توجه به این نکته و به احتمال زیاد، به علت بارندگی‌های زمستانی، توده خاک سست‌تر شده و در اثر تحركات ناشی از کار بولدوزر، لغزش وسیع و ویرانگری در حدود چهار ماه بعد رخ داده است. نمایی از این زمین‌لغزش در شکل ۳ نشان داده شده است.

-۳- این لغزش در مجموعه‌ای از خاکریزی‌های جدید ایجاد شده، خاک‌های قدیمی ریخته شده برای احداث راه قبلی و نیز رسوبات شیلی هوازده اتفاق افتاده است.

-۴- مطابق شکل ۴، انتهای سطح لغزش دقیقاً در وسط پل قرار داشته که همین امر موجب دو تکه شدن پل شده است. نمایی از پل تخریب شده در شکل ۵ نشان داده شده است.

است. در بهار ۱۳۹۱ با اتمام ساخت پل، بولدوزر مجدداً به بالای دامنه منتقل شده و عملیات خاکریزی ادامه می‌یابد. پس از گذشت چند روز و در حین کار بولدوزر، رانش زمین تنها در چند متری بولدوزر روی داده و توده عظیمی از خاک در مسیر خود باعث تخریب پل شده است.

با توجه به بازدیدهای محلی، بررسی‌های میدانی و نیز تصاویر ماهواره‌ای، نکات زیر در رابطه با این زمین‌لغزش قابل توجه هستند:

۱- زمین‌لغزش رخ داده از نوع لغزش دایره‌ای (فاسقی) با ابعاد تقریبی  $80 \times 50$  متر بوده که نمایی از آن در شکل‌های ۲ و ۳ (الف) نشان داده شده است.

۲- به علت اصلاح غیراصولی شیب دامنه، حرکت‌های ابتدایی و هشداردهنده‌ای به‌وقوع پیوسته که در تصویر ماهواره‌ای مورخ ۲۰/۱۱/۹۱ در نرم‌افزار Google Earth مطابق شکل ۲ قابل تشخیص



شکل ۲- حرکت دامنه رودخانه روشک در تصویر ماهواره‌ای مورخ ۲۰/۱۱/۹۱



(ب)



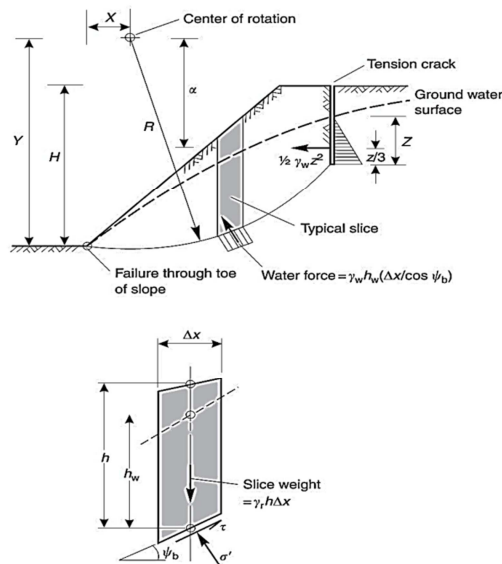
(الف)

شکل ۳- تصویر تاج زمین‌لغزش روشک (الف) نمای دور و (ب) نمای نزدیک

کارایی بیشتر، نسبت به روش‌های تنش-کرنش ساده‌تر و قابل فهم‌تر هستند [۱۳ و ۱۴]. این روش‌ها در ادامه تشریح شده‌اند.

### ۱-۳- روش تعادل حدی

معمولًا در تمام روش‌های تعادل حدی، توده خاک بالای سطح لغزش، مطابق شکل ۶، به قطعاتی قائم تقسیم می‌شوند. نیروهای واردہ بر هر قطعه، جدأگانه در شکل ۶ نشان داده شده است. با وجود روش‌های متنوع تعادل حدی، این دسته از روش‌ها در زمینه فرضیات مربوط به معادلات تعادل نیروها و لنگرها حول نقطه مرکزی چرخش (O) اختلاف نظر دارند [۱۵].



شکل ۶- تصویر یک قطعه و نیروهای واردہ بر آن [۱۶]

در این مقاله، از روش ساده شده بیش‌اپ<sup>۳</sup> استفاده شده است. در این روش، از نیروی برشی بین قطعات صرف‌نظر شده و با تغییر سایر نیروهای وارد بر هر قطعه، معادلات تعادل لنگرها و نیروهای قائم تشکیل می‌شوند. همچنین، ضریب ایمنی با روش سعی و خطأ و با استفاده از رابطه (۱) تعیین می‌گردد [۱۶]:

علاوه‌بر اصلاح غیراصولی شیب، مسیری که بر روی خاکریز جاده قدیمی واقع شده، عدم توجه به شواهد اولیه حركات و جابه‌جایی‌های زمین نیز از جمله عوامل مؤثر در وقوع این پدیده بوده است. به‌گونه‌ای که اگر عملیات احداث پل پس از آماده‌سازی مسیر و اصلاح اصولی شیب خاکریز انجام می‌گرفت، احتمال بروز چنین خسارات سنگینی به‌طور چشمگیری کاهش می‌یافتد.



شکل ۴- انتهای زمین‌لغزش روشک در فاصله بین دو پایه پل



شکل ۵- تخریب پل سنگی در اثر لغزش زمین روشک

## ۳- روش تحقیق، تحلیل و مدل‌سازی

### زمین‌لغزش‌ها

تاکنون روش‌های تجربی، گرافیکی و ریاضی مختلفی به منظور تحلیل زمین‌لغزش‌ها ارائه گردیده است. در این میان، روش‌های ریاضی، روش‌های تقریباً جامع‌تری هستند که به دو گروه روش‌های تعادل حدی<sup>۱</sup> و تنش-کرنش<sup>۲</sup> تقسیم می‌شوند. روش‌های تعادل حدی، علاوه‌بر

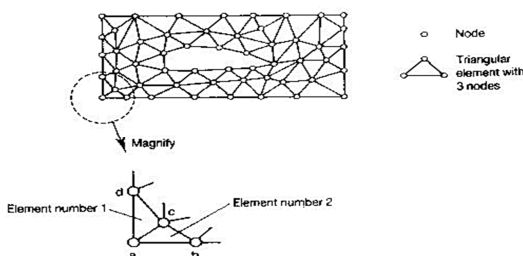
<sup>3</sup>- Bishop's simplified method

<sup>1</sup>- Limit equilibrium method

<sup>2</sup>- Stress-Strain method

یا خاکریزهای خاکی صورت پذیرد که در این صورت استفاده از روش‌های عددی نه تنها مطلوب بلکه ضروری هستند [۱۷].

در این تحقیق، از روش عددی المان محدود برای مدل‌سازی استفاده شده است. روش المان محدود نسبت به روش تعادل حدی دارای مزایایی نظیر مدل کردن شیب‌ها با درجه واقع‌گرایی بسیار بالا (هندرسون پیچیده، بارگذاری‌های متناوب، حضور تقویت‌کننده‌ها، عملکرد آب، قوانینی برای رفتارهای پیچیده خاک) و نیز تصویرسازی دقیق از تغییرشکل‌های ایجاد شده در شیب است [۱۴]. در روش المان محدود، زمین به عنوان یک محیط پیوسته در نظر گرفته شده و در صورت لزوم، ناپیوستگی‌ها به صورت مجزا و به تعداد محدود با المان‌های خاصی به نام المان فصل مشترک، شبیه‌سازی می‌شوند. محدوده مدل، یعنی زمین در برگیرنده، به تعداد محدودی المان تقسیم شده که مطابق شکل ۷، از طریق نقاط گرهی در گوشه‌های المان‌ها به هم متصل هستند [۱۸].



شکل ۷- نمایش تصویری روش المان محدود [۱۹]

در روش المان محدود، ارتباط هندسی و فیزیکی بین تمام المان‌های یک مدل به صورت یک مسئله ریاضی با معادلات ماتریسی صورت می‌پذیرد. شکل کلی معادلات ماتریسی روش المان محدود براساس رابطه (۶) است:

: [۱۹]

$$[K] \times [D] = [F] \quad (6)$$

که در این رابطه،  $K$  ماتریس سختی،  $D$  ماتریس جابه‌جایی (مجهول مسئله) و  $F$  ماتریس بارهای وارد است. این ماتریس برای تک‌تک المان‌ها تشکیل و در

$$\frac{X}{FS} = \frac{\sum \frac{X}{1+Y/FS}}{\sum Z + Q} \quad (1)$$

پارامترهای رابطه فوق به صورت روابط (۲) تا (۵) بیان می‌شوند:

$$X = [C + (\gamma_r h - \gamma_w h_w) \tan \varphi] (\Delta X / \cos \psi_b) \quad (2)$$

$$Y = \tan \psi_b \tan \varphi \quad (3)$$

$$Z = \gamma_r h \Delta X \sin \psi_b \quad (4)$$

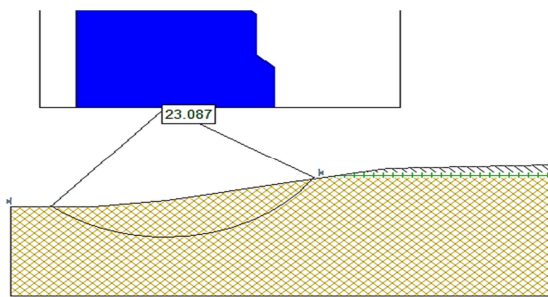
$$Q = \frac{1}{2} \gamma_w Z^2 (\alpha / R) \quad (5)$$

در این روابط،  $Q$  فشار آب منفذی در هر قطعه برحسب ( $\text{MPa}$ )،  $c$  و  $\varphi$  پارامترهای مقاومت برشی خاک،  $\gamma_r$  وزن مخصوص توده سنگ برحسب ( $\frac{MN}{m^3}$ )،  $\gamma_w$  وزن مخصوص آب ( $\frac{MN}{m^3}$ ),  $h_w$  ارتفاع آب در قطعه مورد بررسی برحسب (متر)،  $R$  ارتفاع قطعه مورد مطالعه برحسب (متر)،  $\alpha$  فاصله قائم شعاع دایره لغزش بحرانی برحسب (متر)،  $\psi_b$  زاویه شیب قاعده قطعه و  $\Delta X$  پهنای افقی هر قطعه برحسب (متر) هستند.

از آنجاکه پیاده‌کردن روش‌های تعادل حدی به صورت دستی برای دیواره‌های شیبدار با هندسه پیچیده بسیار وقت‌گیر است، معمولاً از نرم‌افزارهای تجاری برای این منظور استفاده می‌شود. در مطالعه حاضر، از نرم‌افزار SLIDE استفاده شده است.

### ۳-۲-۳- روش تنش-کرنش

در ارزیابی سازه‌های ژئوتکنیکی، اغلب استفاده از روش‌های تعادل حدی برای تحلیل مسئله کافی بوده و روش‌های عددی پیشرفته تنها جهت بهبود و تکمیل این ارزیابی‌ها استفاده می‌شوند. اما در برخی موارد لازم است که ارزیابی دقیقی از تنش‌ها و کرنش‌های موجود در شیب



شکل ۸- تحلیل پایداری مدل اولیه دامنه همراه با فاکتور اینمنی به روش بیشاپ ساده شده

برای تکمیل این مدل، به شیب، امتداد لایه‌بندی و خواص ژئوتکنیکی لایه‌ها نیاز بود. بنابراین شیب و امتداد لایه‌ها توسط کمپاس و مشاهدات صحرایی تعیین گردیدند. خواص ژئوتکنیکی نیز براساس برآوردهای صحرایی و همچنین با بهره‌گیری از بانک اطلاعات ژئوتکنیکی موجود در نرمافزار ROCKDATA انتخاب شدند. شیب، امتداد لایه‌ها و خواص ژئوتکنیکی انتخاب شده در جدول ۱ ارائه شده است.

نهایت ماتریس کلی مدل تشکیل شده و حل کل معادلات به صورت همزمان انجام می‌شود.

#### ۴- بحث و تحلیل زمین‌لغزش روشک

در این بخش، به مدل‌سازی و تحلیل زمین‌لغزش روشک پرداخته شده است.

برای تعیین وضعیت هندسی دامنه لغزش از تصاویر ماهواره‌ای نرمافزار Google Earth استفاده گردید. همچنین با مراجعه به محل و با استفاده از GPS برداشت‌های کنترلی صورت پذیرفت. وضعیت دامنه در آستانه و پس از لغزش نیز به کمک GPS، نقشه‌برداری و تصاویر ماهواره‌ای مشخص شدند. در ابتدا با استفاده از اطلاعات، مدل اولیه دو بعدی دامنه که مربوط به قبل از انجام هرگونه فعالیت راهسازی است در نرمافزار SLIDE مطابق شکل ۸ ایجاد گردید.

جدول ۱- مشخصات ژئوتکنیکی اولیه انواع لایه‌های موجود در محل وقوع

لایه‌بندی	$c \text{ (kN/m}^2)$	$\varphi \text{ (درجه)}$	وزن مخصوص ( $\text{kN/m}^3$ )	رنگ‌بندی لایه در مدل تعادل حدی
آبرفت	۱۵	۳۳	۱۸	آبی
کنگلومرا	۲۵۰۰	۴۴	۲۵	سبز
شیل	۱۰۰۰	۲۵	۲۰	زرد هاشوردار

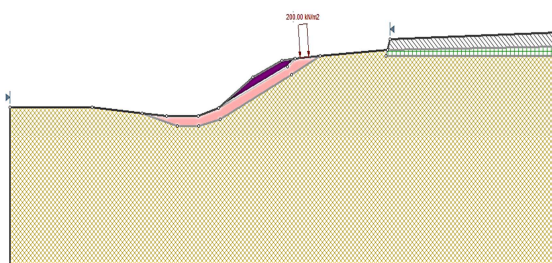
راهسازی قدیم و جدید، سه نوع شیل یا خاک شیلی در دامنه اصلاح شده وجود داشته که شامل خاک شیلی بسیار سست جابه‌جا شده توسط بولدوزر، خاک شیلی سست و هوازده ناشی از فعالیت راهسازی قدیمی و سنگ شیل بر جا و دست‌نخورده در زیر دو لایه هستند. از این‌رو، خصوصیات ژئوتکنیکی لایه‌های جدید اضافه شده به مدل مطابق جدول ۲ در نظر گرفته شدند که ضعیف‌تر از لایه شیل دست‌نخورده هستند.

۳- با توجه به وقوع لغزش در انتهای فصل زمستان و اوایل بهار، حضور آبهای زیرزمینی در دامنه محتمل بوده است. به همین دلیل، ضریب فشار آب زیرزمینی ( $RU$ ) در لایه‌های شیل به میزان

با توجه به شکل ۸، ضریب اینمنی برای پایداری دامنه طبیعی و دست‌نخورده بسیار بالا بوده و لغزش کلی در دامنه طبیعی اتفاق نخواهد افتاد. در ادامه کار به کمک برداشت‌های صورت گرفته از محل، مدل هندسی دامنه ریزش نموده در آستانه لغزش ایجاد شد. در این مدل، وضعیت کلی هندسی و لایه‌بندی مشابه مدل قبلی است. با این وجود به هنگام ساخت این مدل، موارد زیر در نظر گرفته شدند:

۱- شیب دامنه به دلیل فعالیت‌های راهسازی قدیم و جدید به شدت افزایش یافته است.

۲- لایه شیلی تشکیل‌دهنده دامنه را نمی‌توان مشابه یک دامنه طبیعی یکدست و محکم در نظر گرفت. به عبارت دیگر، به علت فعالیت‌های



شکل ۹- مدل هندسی زمین‌لغزش روشک در نرم‌افزار SLIDE  
با توجه به موارد بالا، تحلیل پایداری دامنه به روش تعادل حدی بیش اپ ساده شده انجام گردید که نتایج در شکل ۱۰ آورده شده است. با توجه به شکل ۱۰، از آنجاکه ضریب ایمنی به اندازه  $0.51$  بدست آمده است، لغزش دامنه در مدل ایجاد شده، حتمی است.

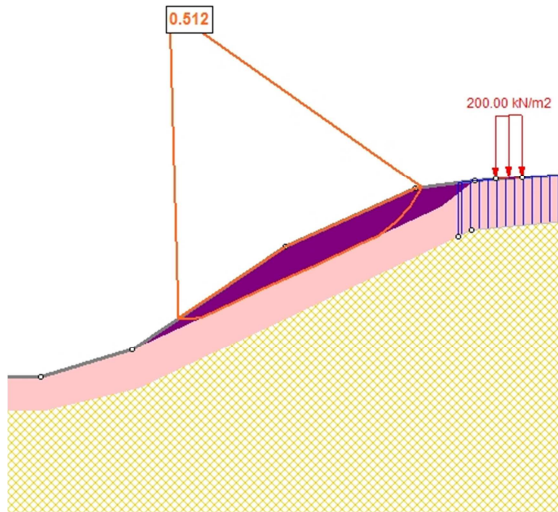
حداکثر  $5/0$  اعمال گردید. شایان ذکر است که لایه کنگلومرا، به عنوان یک لایه نفوذناپذیر منظور گردیده است.

۴- همانگونه که در قسمت توصیف لغزش بیان گردید، درست در لحظه لغزش، بولدوزر پیمانکار مشغول به کار در بالای دامنه بوده است. بنابراین، برای اینکه مدل ساخته شده به واقعیت نزدیک‌تر باشد، نیروی خارجی ناشی از وزن بولدوزر نیز در مدل اعمال گردید. از این‌رو، با درنظر گرفتن وزن بولدوزر، نوع و محل قرارگیری آن در لحظه لغزش، مطابق شکل ۹، بار گسترده  $200$  کیلوپاسکال در مدل اعمال گردید.

جدول ۲- مشخصات ژئوتکنیکی تفصیلی انواع لایه‌های موجود در محل وقوع

نوع لایه‌بندی	$(kN/m^2) c$	$\varphi$ (درجه)	وزن مخصوص ( $kN/m^3$ )	$(MPa) E$	رنگ لایه‌ها در مدل عددی	RU
آبرفت	۱۵	۳۳	۱۸	۱۱۱	آبی	صفر
کنگلومرا	۲۵۰۰۰	۴۴	۲۵	۴۱۲۵۰	سبز	صفر
شیل سخت	۱۱۴۰	۲۶	۲۴/۵	۷۳۰	زرد	۰/۵
شیل نیمه سخت	۳۰	۲۰	۲۴/۵	۱۷/۱۵	صورتی	۰/۵
شیل سست	۸	۱۵	۲۰	۴/۱۷	بنفش	۰/۵

در نرم‌افزار SLIDE به نرم‌افزار Phase2 انتقال داده شد. از آنجاکه به منظور تعیین ضریب ایمنی در روش‌های المان محدود، از روش کاهش مقاومت برشی<sup>۴</sup> (SSR) استفاده می‌شود، نکات مدل‌سازی لازم مرتبط با این روش رعایت گردید. طبق توصیه‌های مرجع [۲۰]، در مدل عددی از  $3000$  المان یکنواخت  $6$  گرهی مثلثی استفاده شد. وضعیت تنش به صورت ثقلی با نسبت  $k=1$ ، مدل رفتاری مصالح الاستوپلاستیک و معیار مقاومتی مصالح موهر کولمب فرض گردید. ضریب کاهش مقاومت بحرانی (Critical SRF<sup>۵</sup>) تقریباً معادل ضریب ایمنی دیواره در حالت تعادل حدی در نظر گرفته شده است. نتایج حاصل از تحلیل المان محدود دامنه در شکل ۱۱ آورده شده



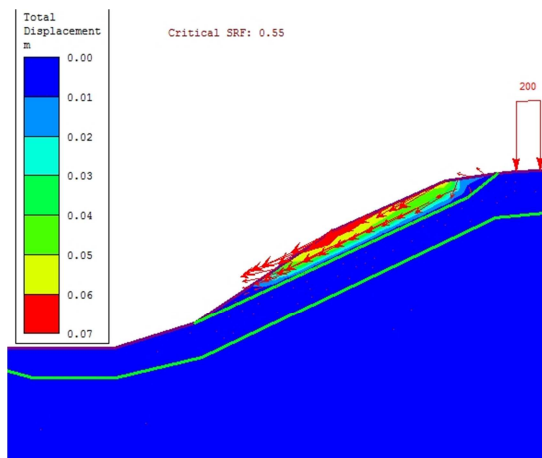
شکل ۱۰- ضریب ایمنی زمین‌لغزش روشک به کمک روش بیش اپ ساده شده

برای بررسی بیشتر و تکمیل نتایج حاصل از روش تعادل حدی، دامنه ریزش‌کرده به روش المان محدود نیز مورد بررسی قرار گرفت. برای این منظور، مدل ایجاد شده

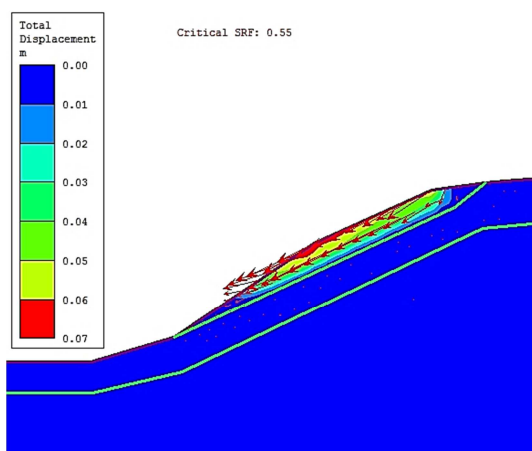
<sup>4</sup>- Shear Strength Reduction

<sup>5</sup>- Critical Strength Reduction Factor

های ممکن ناپایدار است. بنابراین می‌توان گفت که ریزش دامنه در اثر بارندگی اتفاق نیفتاده است چراکه حتی در دامنه کاملاً خشک ( $Ru=0$ ) نیز ضریب اینمی دامنه کمتر از ۱ به‌دست آمده است.



شکل ۱۱- ضریب اینمی معادل روشنک به‌روش المان محدود



شکل ۱۲- ضریب اینمی معادل روشنک به‌روش المان محدود بدون تأثیر فشار بولدوزر

است. با توجه به ضریب SRF بحرانی که معادل ۰/۵۵ و نزدیک به ضریب اینمی در روش تعادل حدی در نظر گرفته شده، ملاحظه می‌شود که نتایج به‌دست آمده از روش المان محدود با نتایج حاصل از روش تعادل حدی، همخوانی خوبی دارند.

#### ۱-۴- بررسی تأثیر عوامل مختلف در وقوع ریزش

در بخش ۲ این مقاله که به توصیف زمین‌لغزش پرداخته شد سه عامل اصلاح غیراصولی شیب، بارندگی و حضور بولدوزر بر روی دامنه به عنوان عوامل محرک لغزش مورد بحث قرار گرفتند. در این قسمت برای بررسی میزان تأثیر هریک از این عوامل از مدل عددی ایجاد شده کمک گرفته می‌شود. در ابتدا با حذف نیروی خارجی معادل وزن بولدوزر در مدل مطابق شکل ۱۲ مشاهده می‌شود که هیچگونه تغییری در ضریب اینمی دامنه اتفاق نمی‌افتد. در شکل‌های ۱۰ و ۱۱ مشاهده می‌شود که محدوده اعمال فشار وزنی بولدوزر خارج از محدوده توده لغزشی قرار می‌گیرد. به همین دلیل می‌توان گفت که صرف حضور بولدوزر در بالای دامنه، نقشی در وقوع ریزش نداشته است.

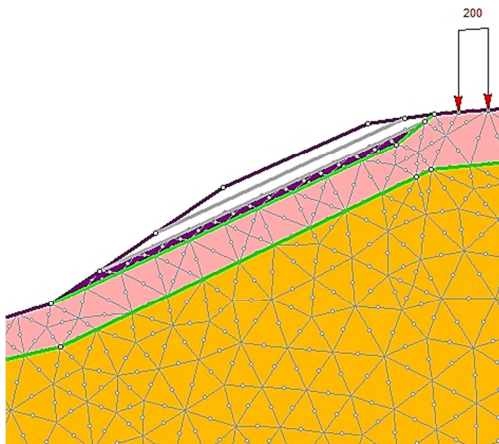
با تغییر فشار آب منفذی لایه شیل در مدل عددی، نقش این عامل نیز مورد بررسی قرار گرفت. جدول ۳ خلاصه نتایج به‌دست آمده را نشان می‌دهد. مطابق جدول ۳، مشاهده می‌شود که دامنه مورد بررسی در تمامی

جدول ۳- تأثیر تغییر فشار آب منفذی بر پایداری دامنه

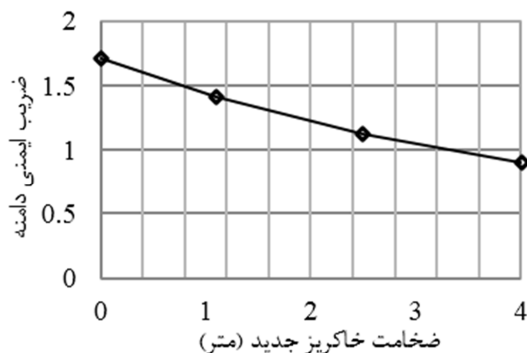
ضریب اینمی دامنه	نسبت فشار آب منفذی لایه شیل ( $Ru$ )	ردیف
۰/۵۵	۰/۵	۱
۰/۶۳	۰/۴	۲
۰/۷۰	۰/۳	۳
۰/۷۷	۰/۲	۴
۰/۸۴	۰/۱	۵
۰/۹۰	صفر	۶

به صورت مرحله‌ای انجام (شکل ۱۳) و در هر مرحله ضریب اینمی دیواره محاسبه گردید. نتایج حاصل در

برای بررسی تأثیر بارگذاری ناشی از خاکریزی جدید بر روی دامنه، ایجاد لایه خاکریز جدید در مدل



شکل ۱۳- ایجاد مرحله‌ای خاکریز در مدل عددی (در این شکل مرحله اول خاکریز ایجاد شده است)



شکل ۱۴- تأثیر پیشرفت عملیات خاکریزی بر پایداری دامنه روشک

جدول ۴ مشاهده می‌شود. تأثیر پیشرفت کار خاکریزی بر کاهش ضریب ایمنی دامنه (شکل ۱۴) به خوبی قابل مشاهده است و بنابراین می‌توان براساس نتایج مطالعه عددی صورت‌گرفته، افزایش شیب دامنه در اثر خاکریزی جدید را عامل اصلی وقوع زمین‌لغزش روشن ک معرفی نمود.

## ۵- نتیجه‌گیری

پدیده زمین‌لغزش یکی از انواع مخاطرات زمین‌شناسی بوده که ممکن است منجر به کاهش ایمنی راههای ارتباطی گردد. زمین‌لغزش‌ها همانند دیگر مخاطرات زمین، در بسترها زمین‌شناسی خاص و همراه با پیش نشانگرهایی رخ می‌دهند که توجه به آنها، این پدیده را مدیریت‌پذیر نموده و خطر آن را بهشت کاهش می‌دهد. در این مقاله، به ارزیابی و تحلیل زمین‌لغزش در مسیر جدید قائن- افین و در مجاورت روستای ورشک در استان خراسان جنوبی پرداخته شد. برای این منظور از روش تحلیل بیشاب و روش عددی المان محدود استفاده گردید.

جدول ۴- تأثیر خاکریزی جدید در بالای دامنه بر پایداری آن (خاکریز بصورت مرحله‌ای ایجاد شده است)

ضریب ایمنی کل دامنه	ضخامت خاکریز جدید (متر)	ردیف
۱/۷۱	صفر	۱
۱/۴۱	۱/۱۰	۲
۱/۱۳	۲/۵۰	۳
۰/۹۰	۴/۰۰	۴

احداث تأسیسات مهندسی در پای دامنه بایستی پس از اصلاح شیب یا پایدارسازی دامنه صورت گیرد.

۳- عدم توجه به حرکات اولیه دامنه، اشتباہی بسیار بزرگ است که ممکن است نتایج فاجعه‌باری را به دنبال داشته باشد. با این وجود، چنین حرکاتی بر روی زمین یا به کمک عکس‌های ماهواره‌ای در مقیاس‌های بزرگ‌تر به راحتی قابل شناسایی

نتایج این تحقیق را می‌توان به‌طور خلاصه در موارد زیر بیان نمود:

۱- اگرچه وقوع زمین‌لغزش در هر نوع زمینی محتمل است، اما در مواجهه با دامنه‌های رسی (نظیر شیل، مارن، آرژیلیت و مادستون) یا خاکریزهای قدیمی مشابه مطالعه حاضر، باید دقت زیادی به خرج داد.

۲- در محل‌هایی که احتمال ریزش دامنه وجود دارد،

حدود ۱/۷ به دست آمد که پس از خاکریزی به ضخامت ۴ متر به ۰/۹۰ کاهش یافته است. با توجه نتایج این تحقیق، فعالیت غیراصولی در جریان عملیات راهسازی بر دامنه‌های سست شیلی، از عوامل اصلی وقوع زمین‌لغزش در محدوده مورد مطالعه بوده است. نتایج حاصل از این مقاله، نمونه عبرت‌آموزی از عدم توجه به هشدارهای طبیعی زمین نسبت به انجام تغییراتی فراتر از تحمل آن است. از اینرو، پیشنهاداتی نظیر ایجاد بانک‌های اطلاعاتی زمین‌لغزش در محدوده‌های مورد مطالعه، پهنه‌بندی مناطق مستعد زمین‌لغزش پیش از آغاز عملیات راهسازی و پرهیز از هرگونه حرکات مصنوعی و نیز ارائه طرح‌هایی جهت مقابله با لغزش‌های احتمالی به عنوان راهکارهایی عملی بهمنظور کاهش احتمال بروز چنین مخاطراتی ارائه می‌گردد.

- ۴- چنانچه دامنه‌ای دچار حرکات لغزشی بسیار جزیی گردد، باید از هرگونه کار تحریک‌آمیز نظیر حرکت ماشین‌آلات راهسازی بر روی آن اجتناب نمود و در صورت لزوم، پایدارسازی را هرچه سریع‌تر و قبل از فصل بارندگی انجام داد.
- ۵- در بررسی اولیه که پس از بازدید صحرایی صورت گرفت سه عامل اصلاح شیب غیراصولی، بارندگی و وجود بولدوزر در بالای دامنه عوامل مؤثر در لغزش شناخته شدند.
- ۶- در بررسی دقیق عددی مشخص شد که عامل اصلی وقوع روشک اصلاح شیب غیراصولی دامنه بوده و بارندگی و بارگذاری ناشی از ماشین‌آلات نقش چندانی در لغزش زمین نداشته است.
- ۷- ضریب ایمنی دامنه قبل از انجام خاکریزی جدید

## مراجع

- [1] Hencher, S. (2013). "Practical engineering geology", CRC Press.
- [2] Hungr, O., Leroueil, S., & Picarelli, L. (2014). "The Varnes classification of landslide types, an update". *Landslides*, 11(2), 167-194.
- [3] Cruden, D. (2017). *Landslide risk assessment*. Routledge.
- [4] Yin, Y., Huang, B., Wang, W., Wei, Y., Ma, X., Ma, F., & Zhao, C. (2016). "Reservoir-induced landslides and risk control in Three Gorges Project on Yangtze River, China". *Journal of Rock Mechanics and Geotechnical Engineering*, 8(5), 577-595.
- [5] Parsaei, L., Salarian, F., & Sheraeni, M. (2009). "Landslides of Golestan Province". *5<sup>th</sup> National conference on Watershed Management Sciences and Engineering of Iran*, Gorgan, Iran.
- [6] Baharvand, S., Pourkermani, M., Arian, M., Ajalloian, R., & Nouryazdan, A.R. (2009). "Seymareh Landslide and its role in environmental and geomorphologic changes of the Pole-Dokhtar area", *Quarterly Iranian Journal of Geology*, 4(4), 13-24.
- [7] Zandi, R., Amirahmadi, A., & Mohamadnia, M. (2018). "Use of entropy model to assess the risk of landslide in the proposed road route of Torqabeh-Dorood (Mashhad-Neyshabur)". *Geography and Human Relationships*, 1(2), 37-58
- [8] Ghanbari, A., Karami, F., & Saleki, M.A. (2017). "An evaluation of feasibility of potential landslide in City of Tabriz". *Journal of Spatial Analysis Environmental Hazards*, 4(1), 1-16.
- [9] Shamsipour, A., & Shekhi, M. (2010). "Zoning of Sensitive Area and Environment Vulnerable in West of Fars Province using Fuzzy and AHP Classification", *Physical Geography Research Quarterly*, 42(73), 53-67.
- [10] Baharvand, S., Soori, S., & Rahnama Rad, J. (2017). "Environmental hazards zonation landslide, earthquake, flood and erosion using AHP Fuzzy method (Case study: Vark Basin)". *RS & GIS for Natural Resources*, 8(3), 89-103.
- [11] Farajzadeh, M., Servati, M.R., & Taheri, V. (2011). "Analysis of the Geomorphological hazards in Golestan Province", *Journal of Physical Geography*, 4(11), 45-62.
- [12] Pasha, A.H., Sorbi, A., Behzadi, S. (2018). "Landslide risk assessment in Qazvin-Rasht quadrangle zone (North of Iran)". *Scientific Quarterly Journal, GEOSCIENCE*, 27(106), 89-98.
- [13] Cheng, Y. M., & Lau, C. K. (2014). *Slope stability analysis and stabilization: new methods and insight*. CRC Press.
- [14] Matthews, C., Farook, Z., & Helm, P. (2014). "Slope stability analysis–limit equilibrium or the finite element method". *Ground Engineering*, 48(5), 22-28.

- [15] Rickard, O. C., & Sitar, N. (2012). bSLOPE: “A Limit Equilibrium Slope Stability Analysis Code for iOS”. *Geotechnical Engineering Report no. UCB/GT/12-01. Geotechnical Engineering Department of Civil and Environmental Engineering, University of California-Berkeley, CA, 94720.*
- [16] Duncan C. W., (2017). *Rock Slope Engineering: Civil Applications*. 5<sup>th</sup> ed. CRC Press.
- [17] Chowdhury, R., Flentje, P., & Bhattacharya, G. (2010). *Geotechnical slope analysis*. CRC Press.
- [18] Scheldt, T. (2003). “Comparison of continuous and discontinuous modelling for computational rock mechanics”, Doctoral Thesis, *Norwegian University of Science and Technology*.
- [19] Hutton, D. V., (2017). *Fundamentals of finite element analysis*. 4<sup>th</sup> ed. New York: McGraw-hill.
- [20] Rocscience Inc. (2019). “RS<sup>2</sup> online help, Shear strength reduction (SSR) analysis”, [https://www.rocscience.com/help/rs2/#t=tutorials%2F03\\_Shear\\_Strength\\_Reduction\\_Analysis.htm](https://www.rocscience.com/help/rs2/#t=tutorials%2F03_Shear_Strength_Reduction_Analysis.htm).